ный характер кратности m расположен на краю звезды. Поэтому кольцо FG полуцепное, если и только если m=1. Если 3^a — порядок силовской 3-подгруппы, то $m=(3^a-1)/2$ и 3^a — максимальная степень тройки, делящая q^n+1 . Если 9 делит q^n+1 , то a>1 и тогда $m\geq 2$. В противном случае, т.е. если 9 не делит q^n+1 , то m=1.

3) Случай p > 3 разбирается аналогично. Заметим только, что если $p \mid q^n + 1$, то кратность исключительной вершины $m = (p^a - 1)/2$ главного блока всегда больше 1 и, следовательно, кольцо FG не полуцепное. Это завершает доказательство теоремы.

Литература

- 1. Hazewinkel M., Gubareni N., Kirichenko V.V. Algebras, Rings and Modules. Vol.1. Kluwer. 2004
- 2. Baba Y., Oshiro K. Classical Artinian Rings. World Scient. Publ. 2009.
- 3. *Higman D.G.* Indecomposable representations at characteristic p // Duke J. Math. 1954. Vol. 21. P. 377–381.
- 4. *Kukharev A.*, *Puninski G.* Serial group rings of finite groups. p-solvability // Algebra Discrete Math. 2013, Vol. 16, P. 201–216.
- 5. Feit W. The Representation Theory of Finite Groups. Amsterdam. North-Holland, 1982.
- 6. Alperin J.L. Local Representation Theory. Cambridge University Press, 1986.
- 7. *Benson D.J.* Representations and Cohomology: Volume 1, Basic Representation Theory of Finite Groups and Associative Algebras. Cambridge University Press, 1998.
- 8. *Burkhard R*. Die Zerlegungsmatrizen der Gruppen PSL(2,pf) // J. Algebra, 1976, Vol. 40, P. 75–96.

НАЧАЛЬНЫЕ ПЕРЕМЕЩЕНИЯ КОРНЯ ЗУБА В НЕСЖИМАЕМОЙ ЛИНЕЙНО-УПРУГОЙ ПЕРИОДОНТАЛЬНОЙ СВЯЗКЕ ПОСТОЯННОЙ ТОЛЩИНЫ

А. Ф. Мселати

Одним из основных вопросов ортодонтии является профилактика и коррекция неправильного прикуса, а также других зубочелюстных аномалий. При этом важной задачей является прогнозирование начального и долговременного смещения зубов, в первую очередь их начальных перемещений [1]. Начальные перемещения зуба возникают при кратковременном действии нагрузки, после снятия которой, зуб возвращается на прежнее место [2]. При этом дегенеративные и необратимые изменения периодонтальной ткани отсутствуют. Основываясь на высокой упругости тканей периодонтальной связки по сравнению с костями и зубами, большинство авторов указывают на то, что именно периодонт определяет начальные перемещения зуба [3–6]. Целью исследования является ма-

тематическое моделирование начальных перемещений зуба в форме эллиптического гиперболоида в линейно упругом периодонте при действии сосредоточенных сил и моментов сил.

Будем считать, что внешняя поверхность корня зуба и прилегающая к нему внутренняя поверхность периодонтальной связки (считаем, что корень зуба является абсолютно твердым телом) описывается уравнением кругового гиперболоида

$$F(x, y, z) = y - \frac{h}{\sqrt{1 + p^2} - p} \left(\sqrt{\left(\frac{x}{a}\right)^2 + \left(\frac{z}{b}\right)^2 + p^2} - p \right) = 0, \tag{1}$$

где h — высота корня зуба; a, b — полуоси эллипса в сечения корня зуба на уровне альвеолярного гребня; p — параметр, характеризующий закругление вершины корня зуба.

Внешняя поверхность периодонтальной связки, прилегающая к костной ткани зубной альвеолы, смещена по нормали по отношению к поверхности корня зуба на величину δ (толщина периодонтальной связки постоянна). При действии на зуб сосредоточенной силы $\vec{f} = (f_x, f_y, f_z)$ точки периодонта, прилегающие к поверхности корня (1) зуба, получают перемещения, равные перемещению корня. Внешняя поверхность периодонтальной связки является жестко закрепленной.

В соответствии с работами [7, 8], будем считать периодонт несжимаемым материалом с коэффициентом Пуассона равным 0,49. Поэтому компоненты тензора деформаций в системе координат, связанной с нормалью, образующей и направляющей к внешней поверхности корня зуба, можно представить в следующем виде [7, 8]:

$$\varepsilon_{nn} = -u_n/\delta, \ \varepsilon_{tt} = \varepsilon_{\theta\theta} = 0, \ \gamma_{n\theta} = -u_\theta/\delta, \ \gamma_{nt} = -u_t/\delta, \ \gamma_{t\theta} = 0,$$
 (2)

где u_n , u_t , u_{θ} — перемещения точек периодонта вдоль нормали, образующей и направляющей к поверхности корня зуба.

Условия равновесия корня зуба (равенство нулю главного вектора и главного момента сил, действующих на зуб) представим в виде:

$$\iint_{F} (\vec{n} \cdot \sigma) dF - \vec{P} = 0, \iint_{F} \vec{r} \times (\vec{n} \cdot \sigma) dF - \vec{m} = 0, \tag{3}$$

где \vec{m} — главный момент внешних сил, \vec{f} — главный вектор внешних сил, \vec{r} — радиус-вектор, \vec{n} — единичный вектор нормали к поверхности (1), σ — тензор напряжений для упругой линейно изотропной среды.

Выполним преобразование компонент тензора деформаций и вектора перемещения (u_n, u_θ, u_t) точки, находящейся на внешней поверхности

корня зуба (внутренней поверхности периодонтальной связки) из системы координат (n, t, θ) в систему координат (x, y, z), а также используем следующие линеаризованные формулы

$$u_x = u_{0x} + z\theta_y - y\theta_z, u_y = u_{0y} - z\theta_x + x\theta_z, u_z = u_{0z} + y\theta_x - x\theta_y.$$
 (4)

После соответствующих преобразований системы (3) с учетом соотношений (2) и (4) получим систему однородных алгебраических уравнений относительно поступательных перемещений и углов поворота корня зуба следующего вида

$$c_{x}u_{0x} + c_{\theta xy}\theta_{z} = f_{x}, c_{y}u_{0y} = f_{y}, c_{z}u_{0z} + c_{\theta yz}\theta_{x} = f_{z},$$

$$c_{\theta z}u_{0z} + \mu_{x}\theta_{x} = y_{f}f_{z} - z_{f}f_{y}, \mu_{y}\theta_{y} = z_{f}f_{x} - x_{f}f_{z},$$

$$c_{\theta x}u_{0x} + \mu_{z}\theta_{z} = x_{f}f_{y} - y_{f}f_{x},$$
(5)

где c_x , c_y , c_z — жесткости периодонтальной связки при поступательном перемещении корня зуба вдоль координатных осей; $c_{\theta xy}$, $c_{\theta yz}$ — статические моменты жесткостей; $c_{\theta x}$, $c_{\theta z}$ — жесткости периодонта при повороте корня зуба относительно оси 0x, 0z при действии силы вдоль этой координатной оси; μ_x , μ_y , μ_z — жесткости периодонта при поворотах корня зуба относительно координатных осей 0x, 0y, 0z соответственно; (x_f, y_f, z_f) — координаты точки приложения нагрузки.

В случае отличных от нуля углов поворота, перемещение зуба является винтовым и описывается следующим уравнением:

$$\frac{u_x - y\theta_z + z\theta_y}{\theta_x} = \frac{u_y - z\theta_x + x\theta_z}{\theta_y} = \frac{u_z - x\theta_y + y\theta_x}{\theta_z},$$
 (6)

где углы поворота и поступательные перемещения корня зуба определяются решением системы (5) при заданной внешней нагрузке и координатах точки ее приложения.

Уравнение оси винта на основании соотношений (6) можно представить в параметрическом виде (t – параметр):

$$x = \frac{\theta_z \left(u_z \left(\theta_x^2 + \theta_y^2 \right) - \theta_z \left(u_x \theta_x + u_y \theta_y \right) \right)}{\theta_y \theta_z \theta^2} - \frac{\theta^2_t}{\theta_y \theta_z}, \quad y = -\frac{\theta^2_t}{\theta_x \theta_z},$$

$$z = \frac{\theta_x \left(\theta_x \left(u_y \theta_y + u_z \theta_z \right) - u_x \left(\theta_y^2 + \theta_z^2 \right) \right)}{\theta_y \theta_z \theta^2} - \frac{\theta^2_t}{\theta_x \theta_y}, \quad \theta^2 = \theta_x^2 + \theta_y^2 + \theta_z^2.$$

$$(7)$$

На рис. 1 показаны траектории начальных перемещений пяти точек зуба, ось винтовой линии, определяемая уравнением (7) (рис. 1, a), а также начальные и конечные положение корня зуба (рис. 1, b).

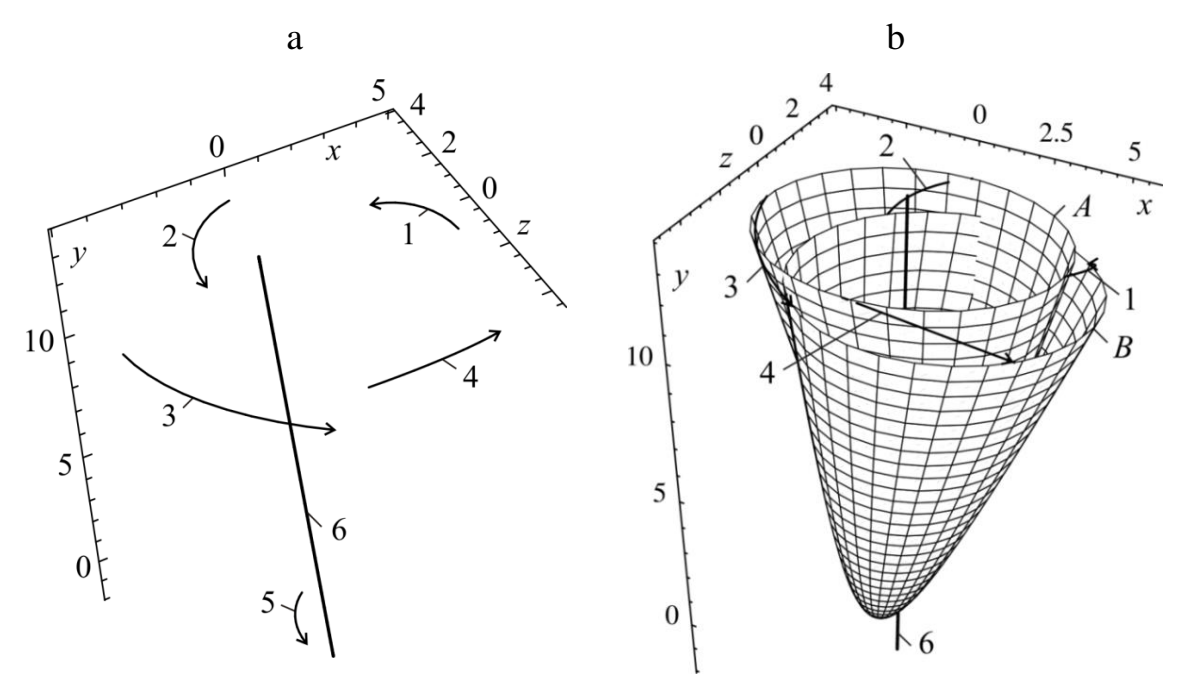


Рис. 1. Начальное (*A*) и конечное (*B*) положение корня зуба, ось винтовой линии (6) и траектории начальных перемещения точек зуба с координатами: 1 - (a, 0, h); 2 - (0, b, h); 3 - (-a, 0, h); 4 - (0, -b, h); 5 - (0, 0, 0)

На зуб действует сосредоточенная сила с компонентами $f_x = f_z = 1$ H, $f_y = -1$ H, приложенная в точке с координатами (a,0,h). Здесь и далее при вычислениях принимаем высоту корня зуба h=13 мм, большая полуось b=3,9 мм [7,8], параметр закругления вершины корня p=0,4; упругие свойства периодонтальной связки описываются константами E=680 кПа, v=0,49, толщина периодонта $\delta=0,229$ мм [7,8]. При визуализации траекторий перемещения точек и положений корня зуба принят коэффициент масштабирования равный 1000. Размеры корня зуба на рис. 1 приведены в мм.

Из рис. 1 видно, что точки зуба при произвольно ориентированной нагрузке получают винтовое перемещение относительно определенной оси. При указанной нагрузке на зуб перемещение вершины корня вдоль оси винтовой линии составляет ≈ 0.92 мкм.

В заключение отметим, что использование оси винтовой линии позволяет прогнозировать и достаточно точно визуализировать начальное перемещение зуба в пространстве относительно его исходного положения при заданной нагрузке. В зависимости от значения перемещения вдоль винтовой оси можно выделить винтовое движение зуба, сочетаю-

щее перемещение и вращение зуба в пространстве, а также плоско-параллельное и корпусное движение.

Литература

- 1. Cronau M., Ihlow D., Kubein-Meesenburg D., Fanghänel J., Dathe H., Nägerl H. Biomechanical features of the periodontium: An experimental pilot study in vivo // Am. J. Orthod. Dentofacial Orthop. 2006. Vol. 129. P. 599.e13–599.e21.
- 2. Tanne K., Nagataki T., Inoue Y., Sakuda M., Burstone C. Patterns of initial tooth displacement associated with various root lengths and alveolar bone heights // Am. J. Dentofacial Orthop. 1991. Vol. 100. P. 66–71.
- 3. Ziegler A., Keilig L., Kawarizadeh A., Jäger A., Bourauel C. Numerical simulation of the biomechanical behaviour of multi-rooted teeth // Eur. J. Orthod.. 2005. Vol. 27. P. 333–339.
- 4. Bourauel C., Freudenreich D., Vollmer D., Kobe D., Drescher D., Jaeger A. Simulation of orthodontic tooth movements // J. Orofac. Orthop. 1999. Vol. 60. P. 136–151.
- 5. *Nägerl H., Kubein-Meesenburg D.* Discussion: A FEM study for the biomechanical comparison of labial and palatal force application on the upper incisors // Fortschritte der Kieferorthopädie. 1993. Vol. 54. P. 229 230.
- 6. *Dorow C., Sander F. G.* Development of a model for the simulation of orthodontic load on lower first premolars using the finite element method // J. Orofac. Orthop. 2005. Vol. 66. P. 208–218.
- 7. *Provatidis C. G.* An analytical model for stress analysis of a tooth in translation // Int. J. Eng. Sci. 2001. Vol. 39. P. 1361–1381.
- 8. Van Schepdael A., Geris L., Van der Sloten J. Analytical determination of stress patterns in the periodontal ligament during orthodontic tooth movement // Med. Eng. Phys. 2013. Vol. 35. P. 403 410.

О РАЗМЕРНОСТЯХ КОММУТАТОРНЫХ МНОГООБРАЗИЙ В СЛУЧАЕ МАТРИЦ МАЛОЙ РАЗМЕРНОСТИ

А. Ю. Муранова

ВВЕДЕНИЕ

В статье [1] для описания многообразий представлений некоторых конечно порожденных групп используется тот факт, что многообразие

$$V_g(A) = \{ (y_1, z_1, \dots, y_g, z_g) \in GL_n(K)^{2g} \mid [y_1, z_1] \dots [y_g, z_g] = A \},\$$

где K— алгебраически замкнутое поле характеристики $0, g \ge 2, A \in SL_n(K)$, неприводимо и его размерность равна $(2g-1)n^2+1$.

Из статьи [2] следует, что этот результат не может быть обобщен на случай g=1. Многообразие $V_1(A)$ может быть приводимым и $n^2+1 \le \dim V_1(A) \le n^2+n$. Следовательно, на этот случай не могут быть обобщены и результаты статьи [1]. Поэтому представляет интерес исследование коммутаторных многообразий